

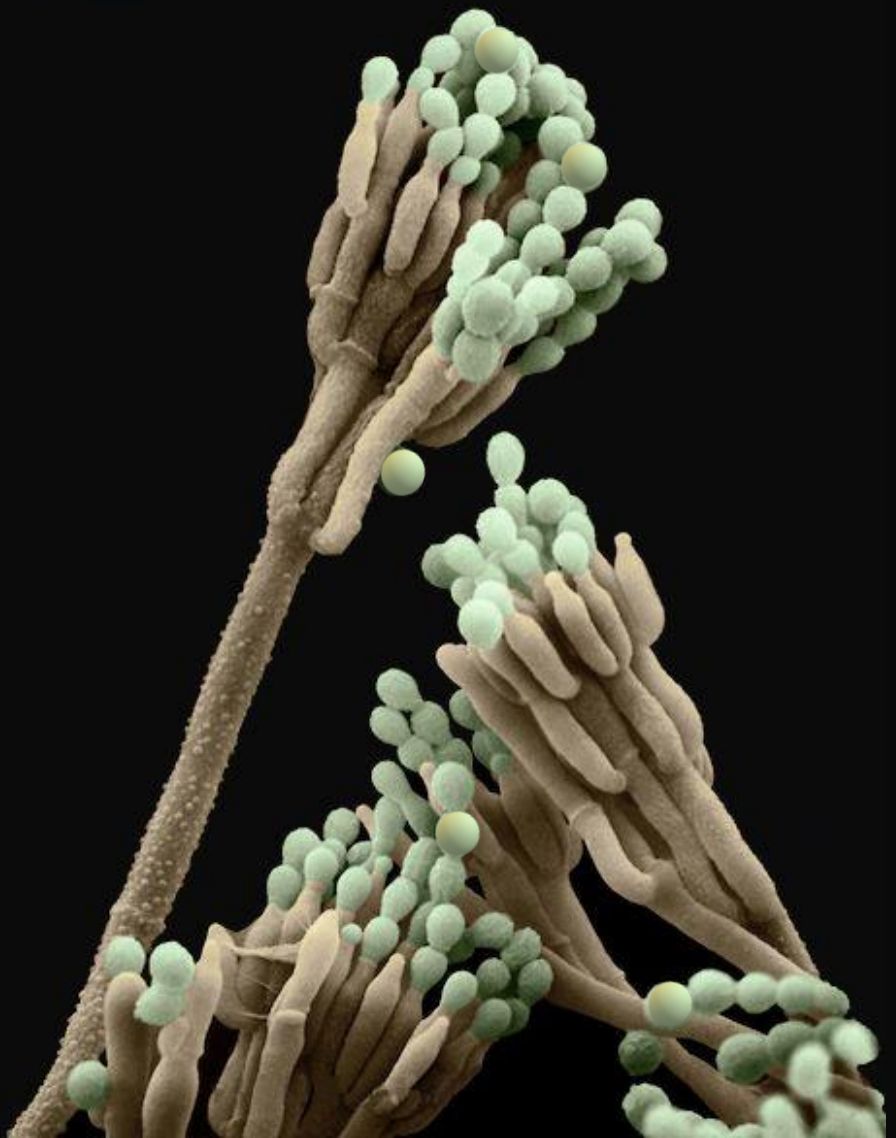


**L'ANTICORPO MONOCLONALE
UMANIZZATO ANTIFUNGINO
DIA-T51
E LA SUA SINERGIA CON
AMFOTERICINA B:
STUDI *in vitro* E *in vivo***



150^o
UNIVERSITÀ
DEGLI STUDI
DI URBINO
CARLO BO

ALARMING NUMBERS



13 million people affected by fungal infections

1.5 million deaths every year

>90% caused by *Candida* spp., *Cryptococcus* spp. *Aspergillus* spp.

Candidemia alone represents **60%** of total fungal infections

According to CDC, *C. auris* is the **1st** most urgent threats

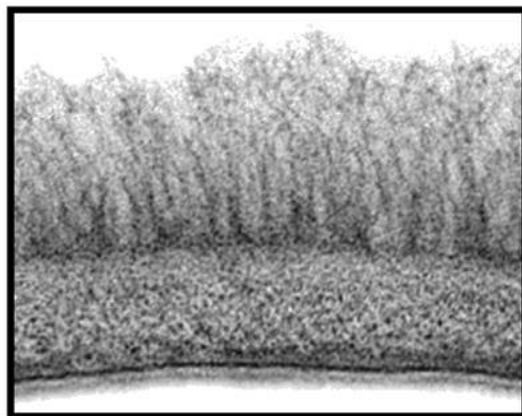
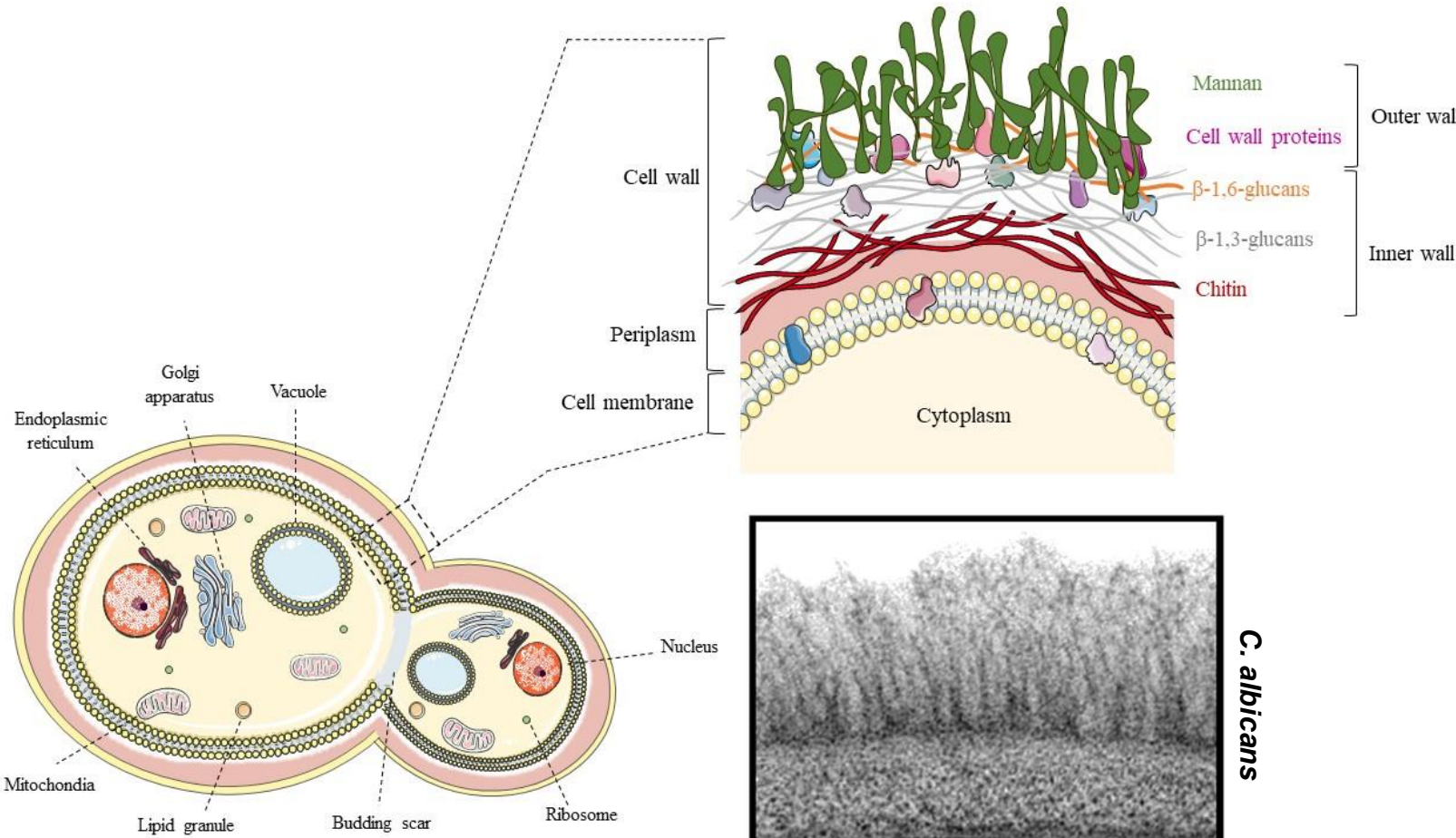
Just **3** major classes of antifungal drugs

>90% are resistant to azoles

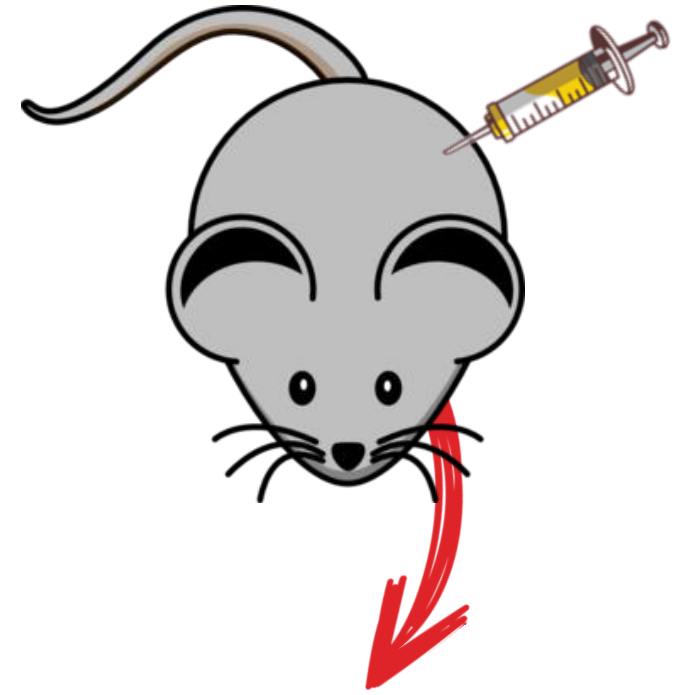
>30% are resistant to **2** antifungal classes

3-5% to **all** antifungals

Anti- β -1,3-glucans antibodies

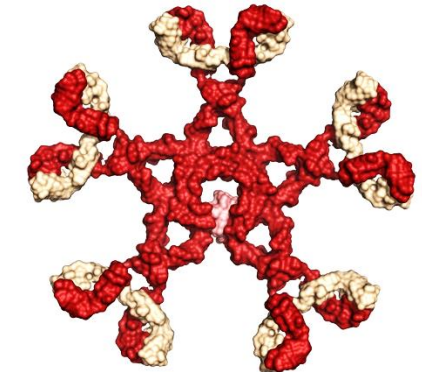
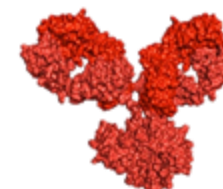


N. Gow et al. 2017



IgG_{2b}
2G8

IgM
1E12





Finanziato
dall'Unione europea
NextGenerationEU



Ministero
dell'Università
e della Ricerca



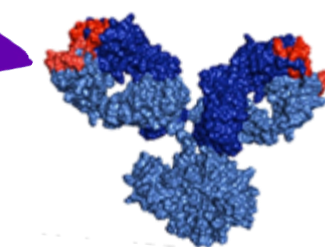
Italiadomani
PIANO NAZIONALE
DI RIPRESA E RESILIENZA

The humanization process

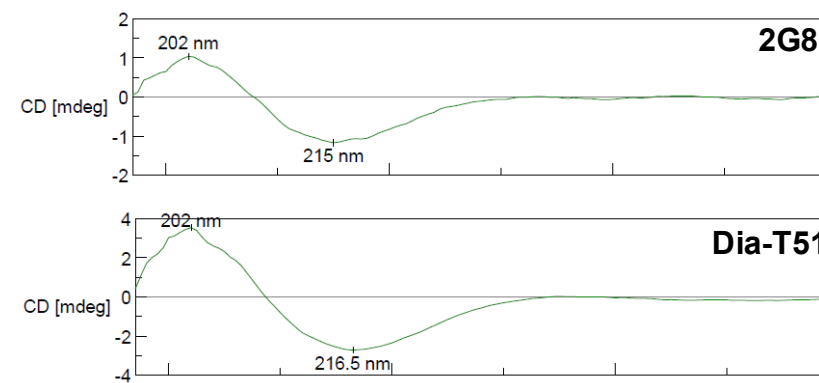
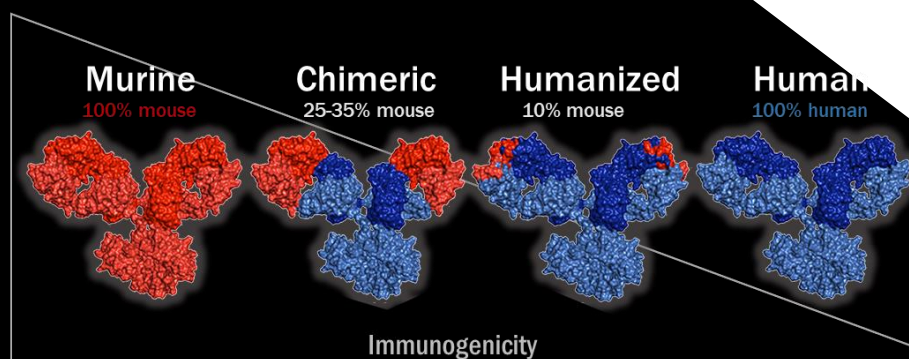
Statistical
interference approach
+ CDR-grafting



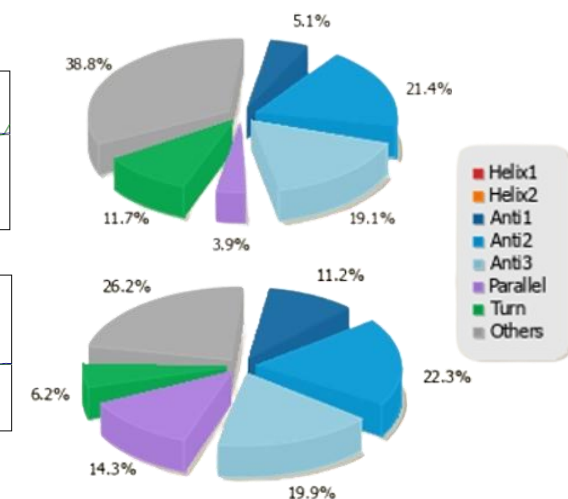
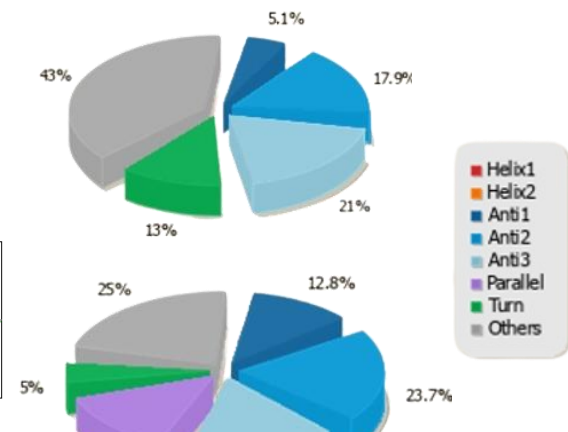
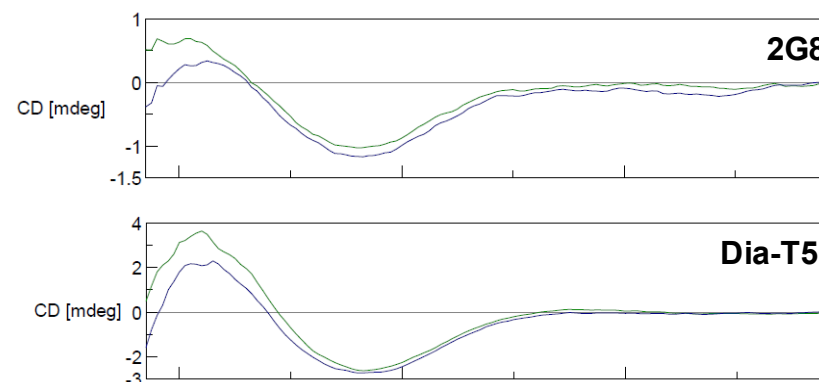
IgG_{2b} 2G8



IgG₁ Dia-T51



Peaks (nm)	2G8	Dia-T51
UV	279.00	279.00
Fluorescence	343.03	339.07





Finanziato
dall'Unione europea
NextGenerationEU

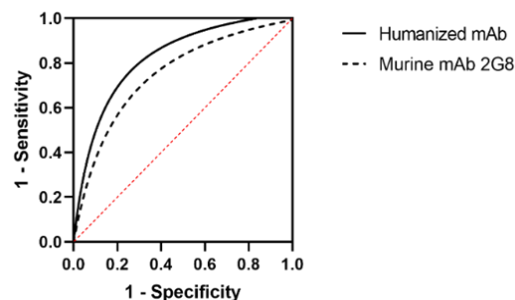
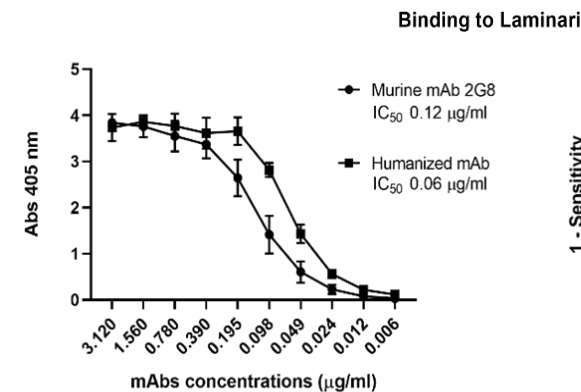


Ministero
dell'Università
e della Ricerca

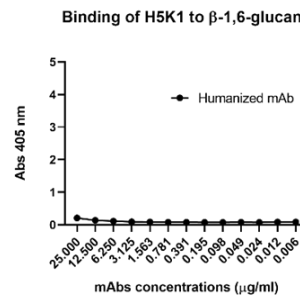
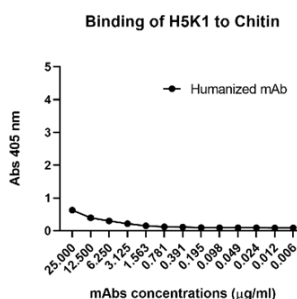
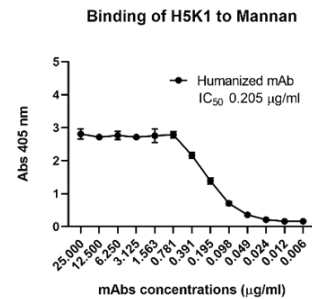


Italiadomani
PIANO NAZIONALE
DI RIPRESA E RESILIENZA

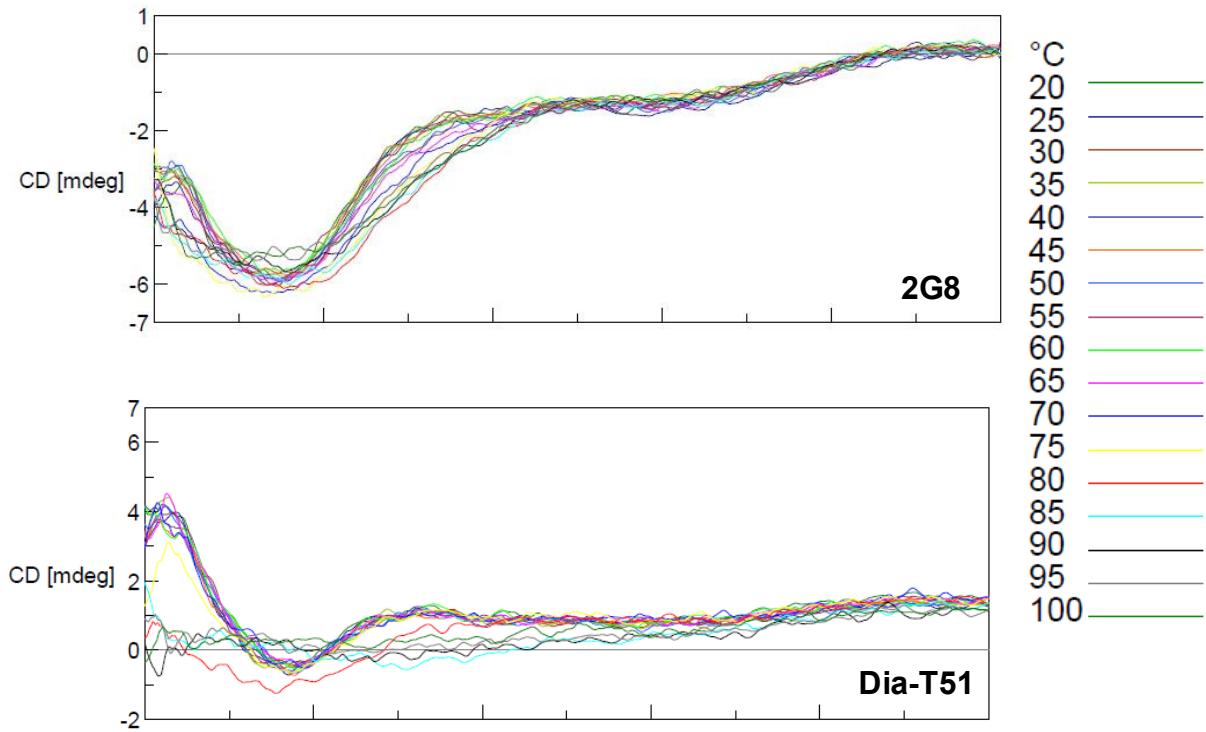
In vitro studies



	IC_{50} ($\mu\text{g/ml}$)	AUC	K_D
Dia-T51	0.06	0.85	3.59×10^{-9}
2G8	0.12	0.77	1.9×10^{-9}



Dia-T51 IC_{50} ($\mu\text{g/ml}$)	6 months 4°C	12 months 4°C	18 months -80°C
	0.10 (K_D 3.37×10^{-9})	0.10	0.09





Finanziato
dall'Unione europea
NextGenerationEU

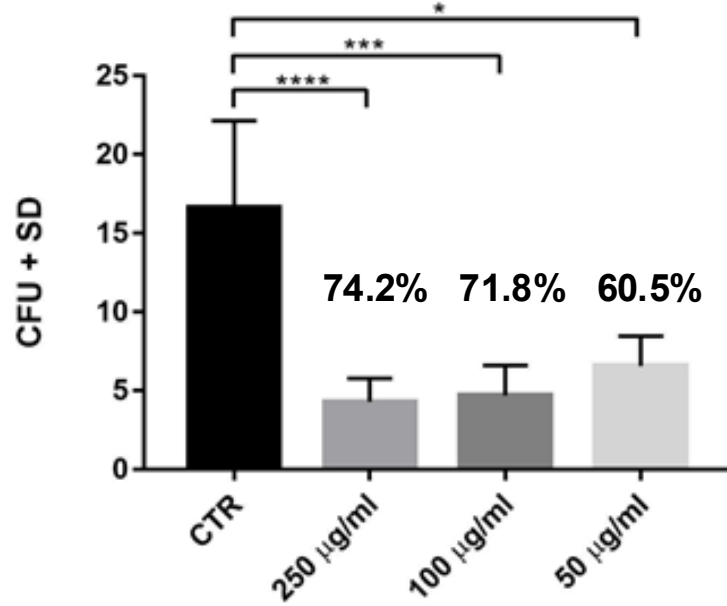


Ministero
dell'Università
e della Ricerca



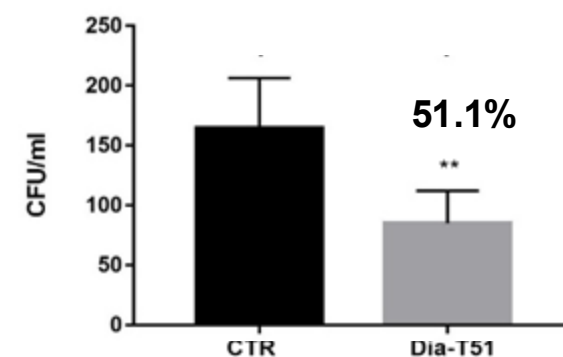
Italiadomani
PIANO NAZIONALE
DI RIPRESA E RESILIENZA

C. auris growth inhibition

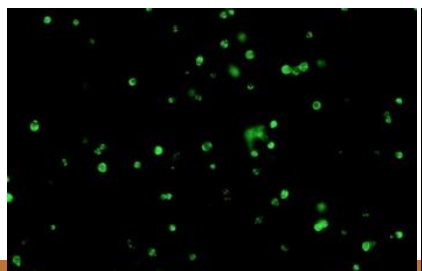
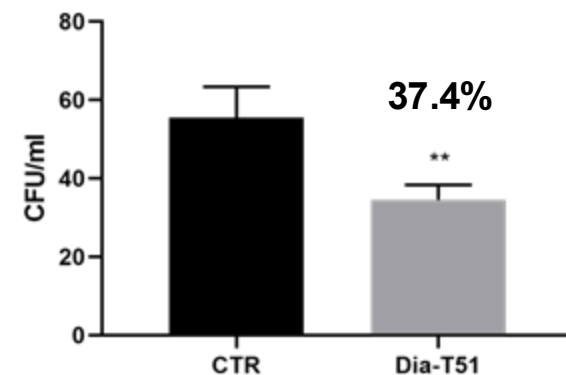


C. auris adhesion inhibition

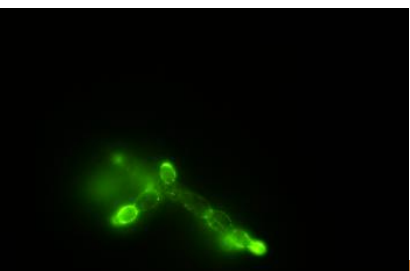
HeLa cells



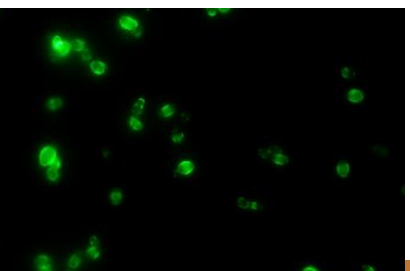
Hacat cells



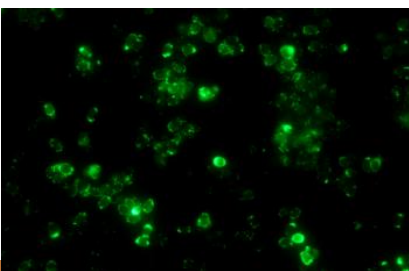
C. auris



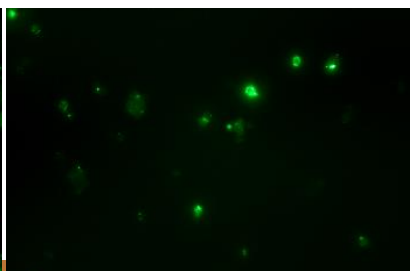
C. albicans hyphal form



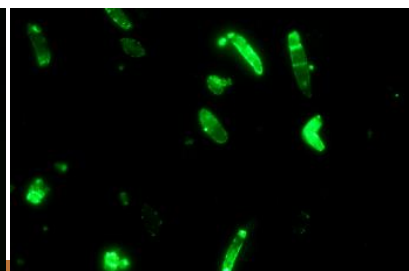
C. albicans yeast form



C. glabrata



A. fumigatus conidia



F. solani conidia



Finanziato
dall'Unione europea
NextGenerationEU

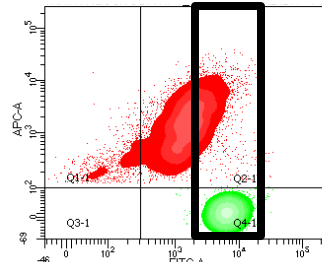
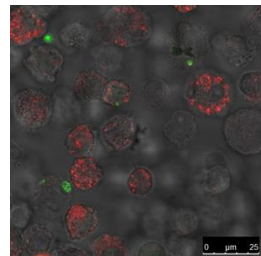


Ministero
dell'Università
e della Ricerca

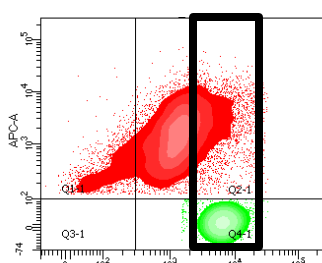
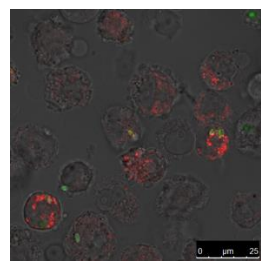


Italiadomani
PIANO NAZIONALE
DI RIPRESA E RESILIENZA

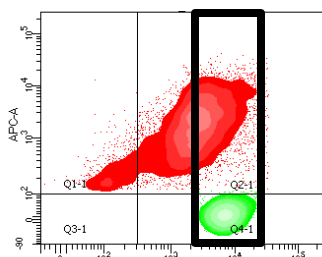
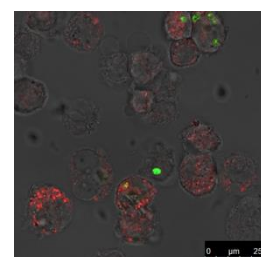
THP-1 cell line



Not-opsonized *C. auris*



Opsonized *C. auris*
(2.5 µg/ml Dia-T51)



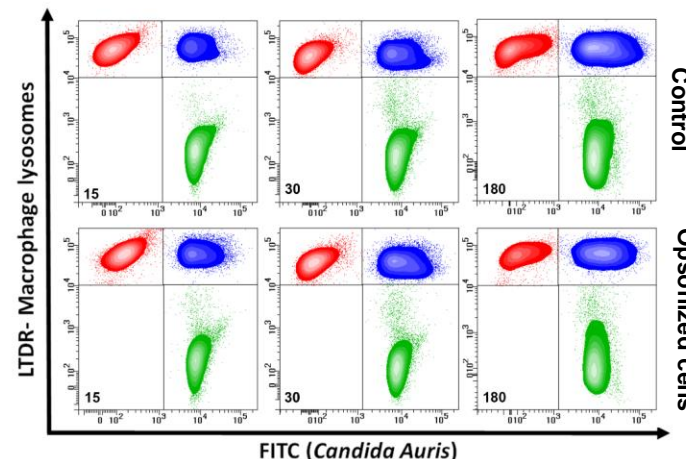
Opsonized *C. auris*
(25 µg/ml Dia-T51)

Red population: THP-1
(human macrophages)
Green population: *C. auris*

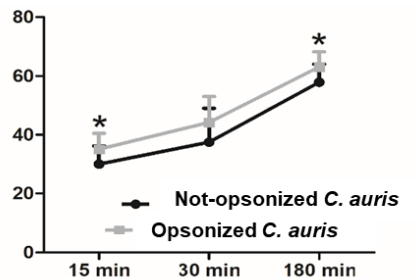
	Engulfing macrophages (%)	Residual <i>Candida/Macrophages</i>	Phagocytosis rate (%)
Not-opsonized <i>C. auris</i>	84.5	3.79	37.0
Opsonized <i>C. auris</i> (2.5 µg/ml Dia-T51)	85.8	2.44	46.5
Opsonized <i>C. auris</i> (25 µg/ml Dia-T51)	87.0	2.33	65.6

Human monocytes-derived macrophages

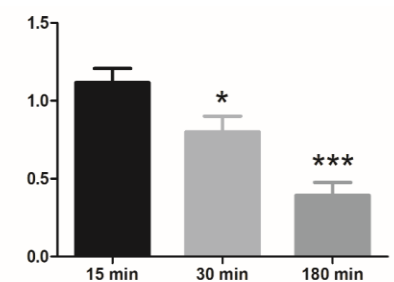
Red population: not-engulfing macrophages
Blue population: engulfing macrophages
Green population: residual *C. auris*



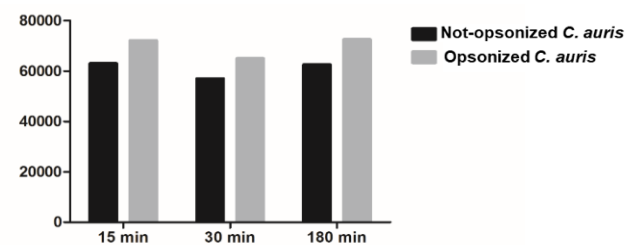
% phagocytizing macrophages



Fold of decrease of residual *C. auris*



Lysosome activity





Finanziato
dall'Unione europea
NextGenerationEU



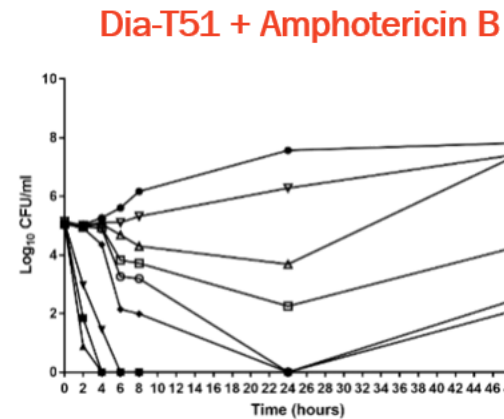
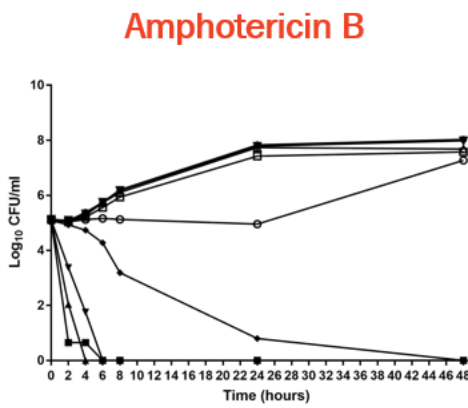
Ministero
dell'Università
e della Ricerca



Italiadomani
PIANO NAZIONALE
DI RIPRESA E RESILIENZA

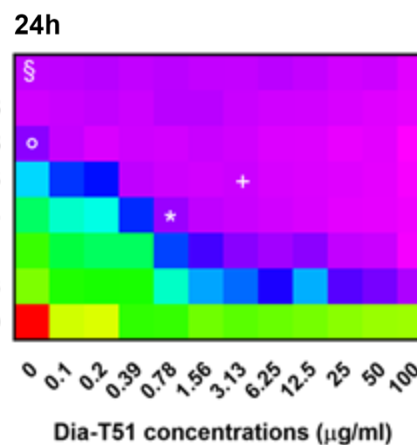
Dia-T51 + Amphotericin B

Dia-T51 µg/ml	0	0.25	2.5	25	250
24h MIC AMB µg/ml	0.5	0.5	0.25	0.125	0.125
48h MIC AMB µg/ml	1	1	1	0.25	0.25

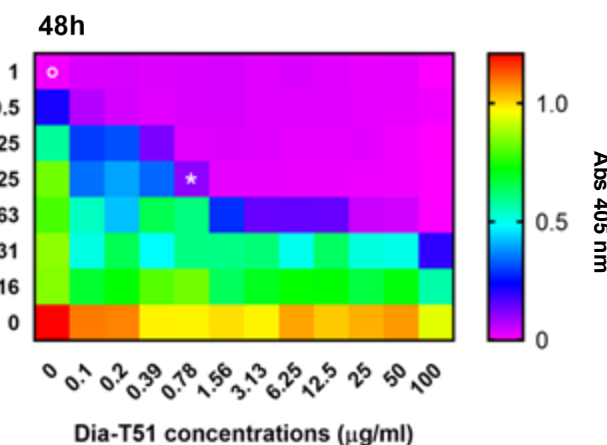


- CTR
- AMB 4 µg/ml
- ▲ AMB 2 µg/ml
- ▲ AMB 1 µg/ml
- ◆ AMB 0.5 µg/ml
- AMB 0.25 µg/ml
- AMB 0.125 µg/ml
- △ AMB 0.0625 µg/ml
- ▽ AMB 0.03125 µg/ml

Synergic



- MIC AMB
- * Synergic MIC Dia-T51+AMB (FICI: 0.256)
- § MFC AMB
- + MFC Dia-T51+AMB



- MIC AMB
- * Synergic MIC Dia-T51+AMB (FICI: 0.129)

Minimum Inhibitory Concentration
(inhibition of fungal growth ≥90%)

	24h	48h
AMB	0.25 µg/ml	1 µg/ml
Dia-T51+AMB	0.78+0.063 µg/ml	0.78+0.125 µg/ml

Minimum Fungicidal Concentration
(reduction of initial inoculum viability ≥99.9%)

AMB	Dia-T51+AMB
1 µg/ml	3.13+0.125 µg/ml



Finanziato
dall'Unione europea
NextGenerationEU



Ministero
dell'Università
e della Ricerca



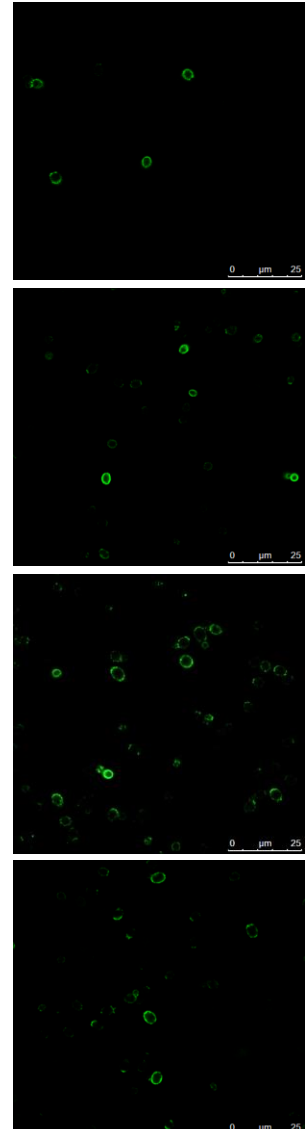
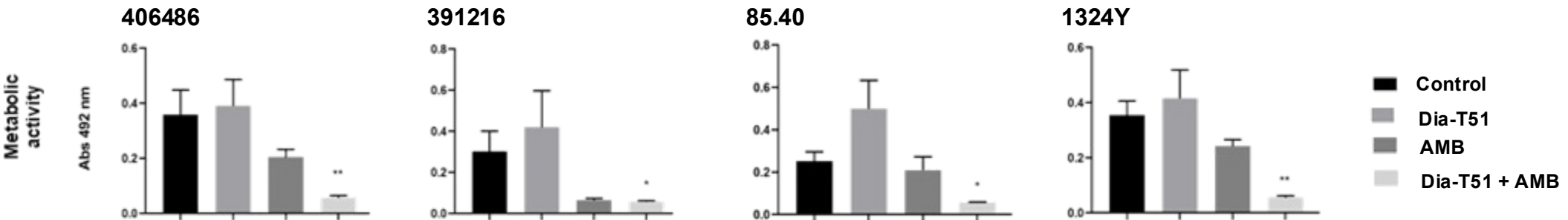
Italiadomani
PIANO NAZIONALE
DI RIPRESA E RESILIENZA



- Is it effective with other *Candida* spp.?
- Is it efficient with resistant strains?

C. glabrata strains	Characteristics	Synergy in Checkerboard		Synergy in time-kill curves	
		Dia-T51 / AMB (µg/ml)	FICI	Δlog most active compound vs combination ≥ 2 Dia-T51 / AMB (µg/ml)	
406486	Biofilm hyperproducer	0.78 / 0.125	0.252	6.25/0.25	
391216	Common clinical isolate	1.56 / 0.25	0.254	6.25/0.5	
85.40	Mutation in FKS gene	12.5 / 0.125	0.281	50/0.25	
1324Y	Mutation in FKS gene	3.13 / 0.125	0.258	12.5/0.25	

C. glabrata biofilm inhibition



406486

391216

85.40

SSI 1324Y



Finanziato
dall'Unione europea
NextGenerationEU

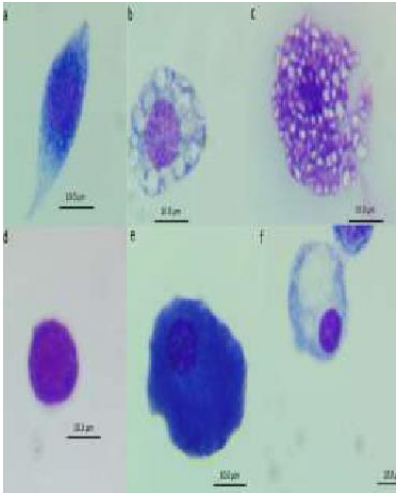


Ministero
dell'Università
e della Ricerca



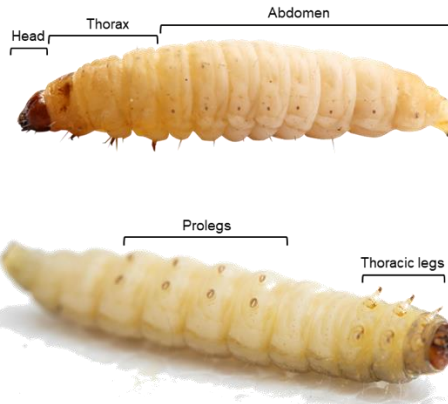
Italiadomani
PIANO NAZIONALE
DI RIPRESA E RESILIENZA

In vivo studies

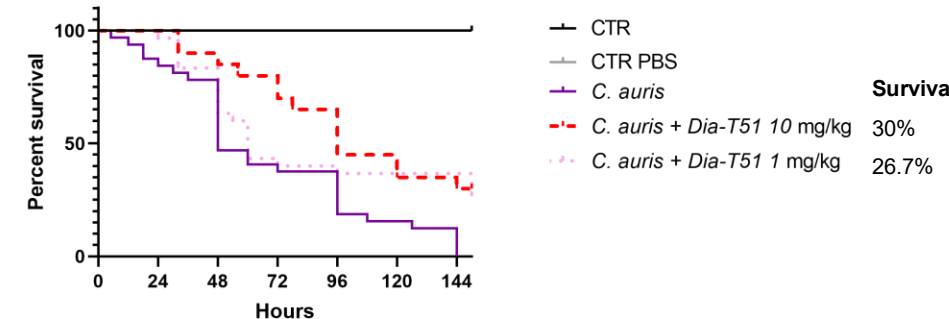


- a. Plasmacyte
- b. Granulocyte
- c. Spherulocyte
- d. Prohemocyte
- e. Oenocytoid
- f. Coagulocyte

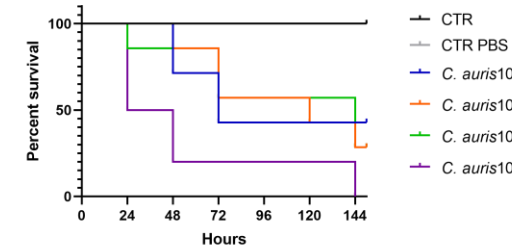
Eskin A., 2022



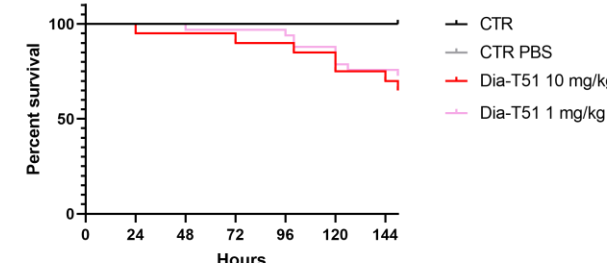
Galleria mellonella larvae infected with C. auris and treated with Dia-T51



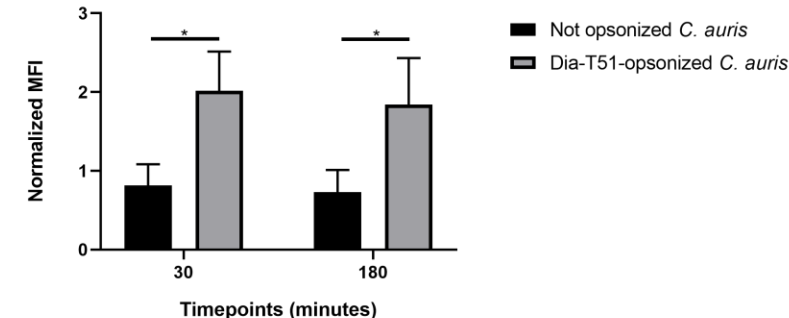
Galleria mellonella survival - C. auris infection



Dia-T51 toxicity on Galleria mellonella larvae

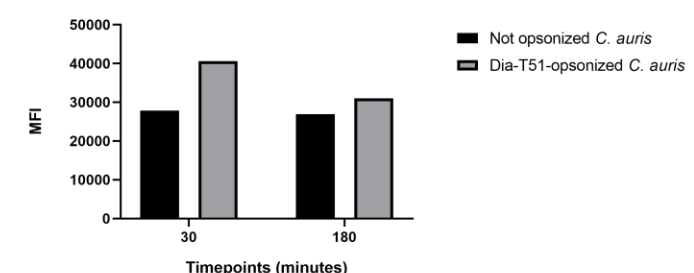


Hemocytes phagocytosis of C. auris



Hemocytes PI positive	30 minutes	180 minutes
Not opsonized C. auris	27%	7%
Dia-T51-opsonized C. auris	11%	10.5%

CD80 expression





Finanziato
dall'Unione europea
NextGenerationEU

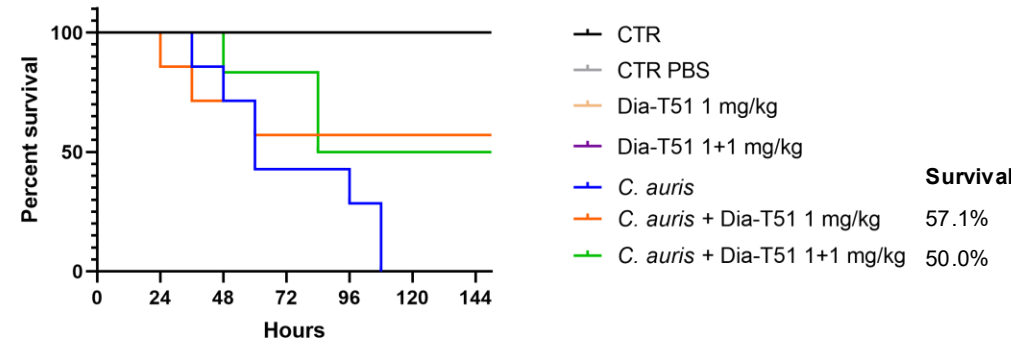


Ministero
dell'Università
e della Ricerca

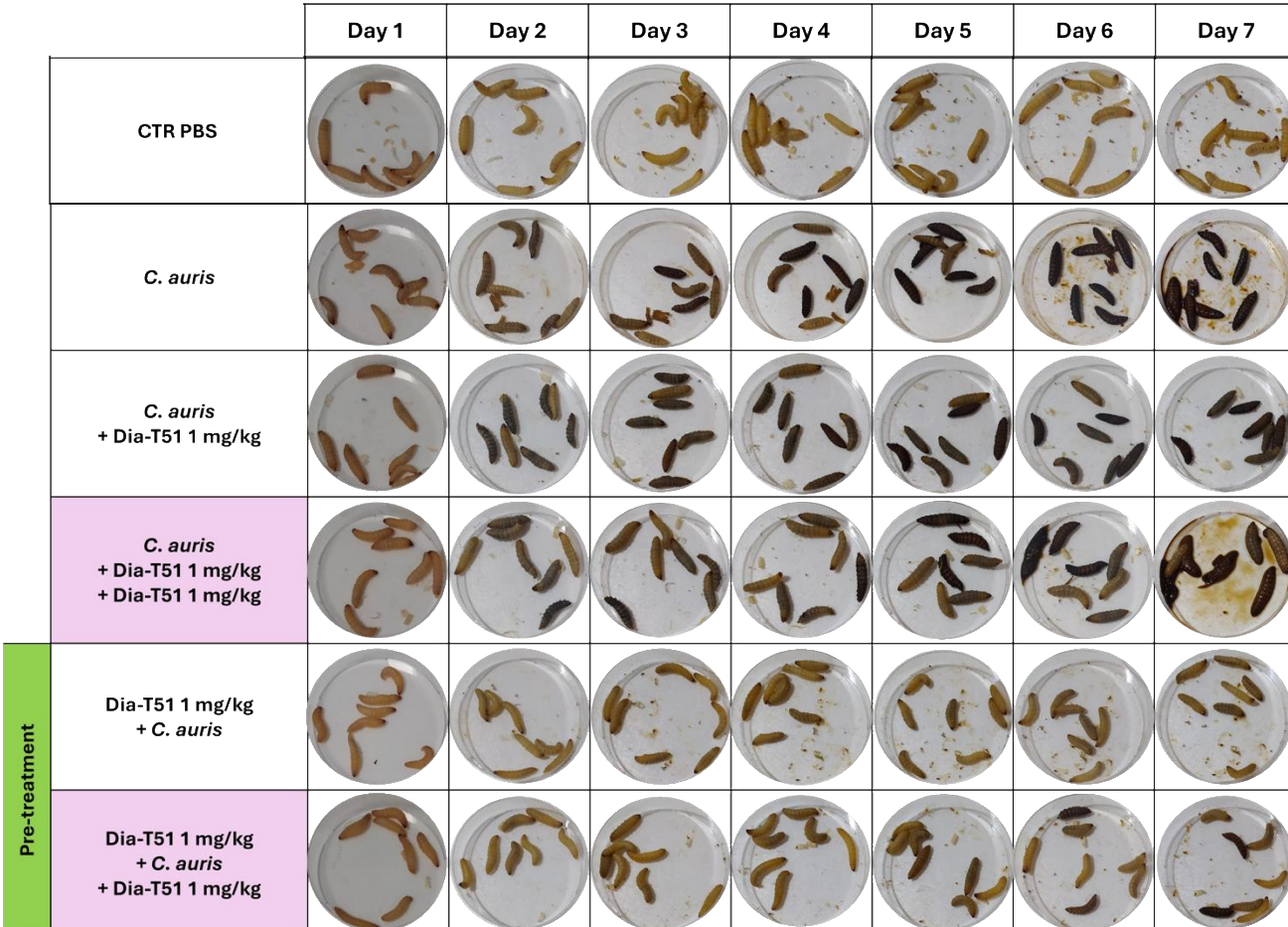
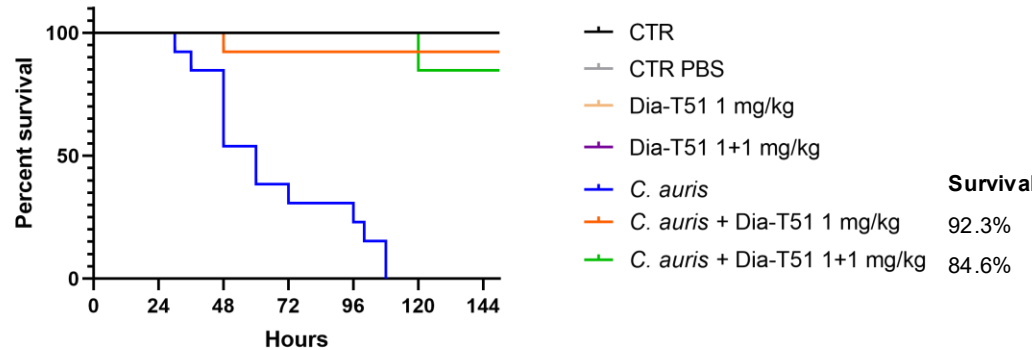


Italiadomani
PIANO NAZIONALE
DI RIPRESA E RESILIENZA

Galleria mellonella larvae infected with *C. auris* and treated with a single and double dose of Dia-T51



Galleria mellonella larvae pretreated with Dia-T51, with or without a booster dose and infected with *C. auris*





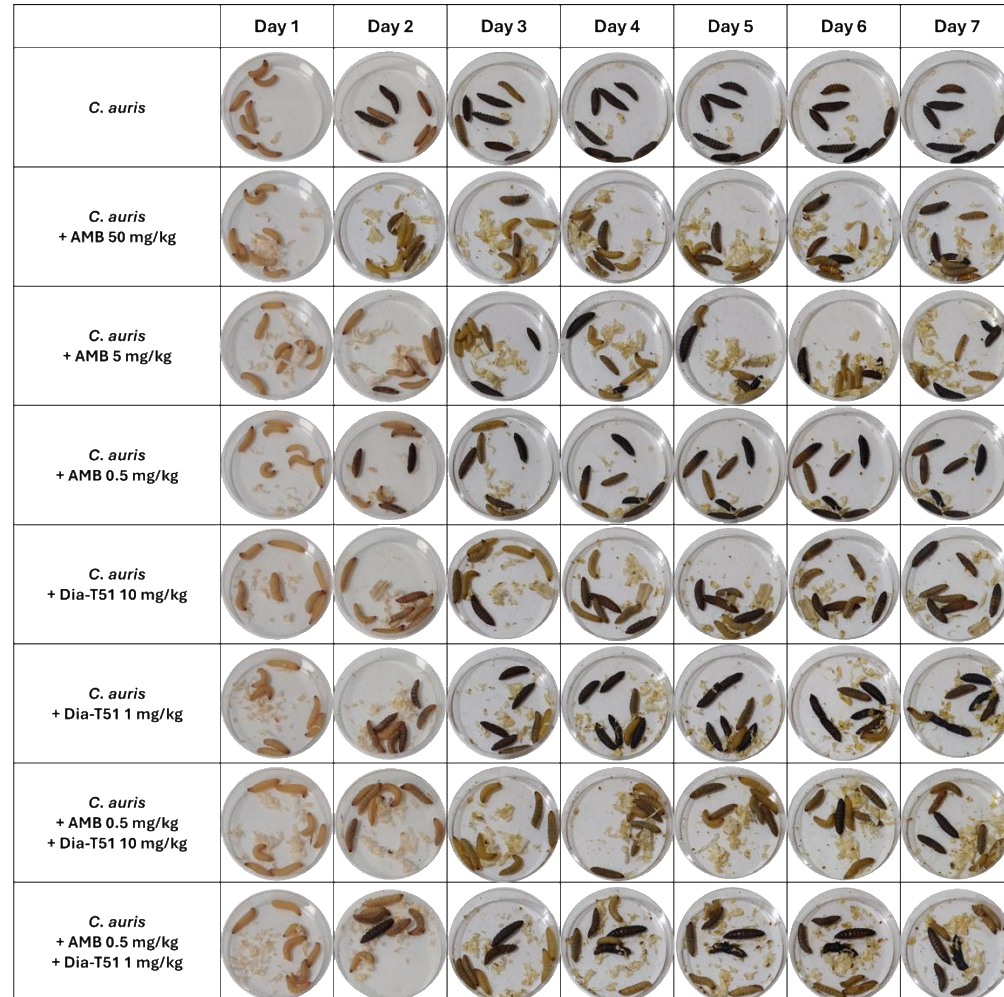
Finanziato
dall'Unione europea
NextGenerationEU



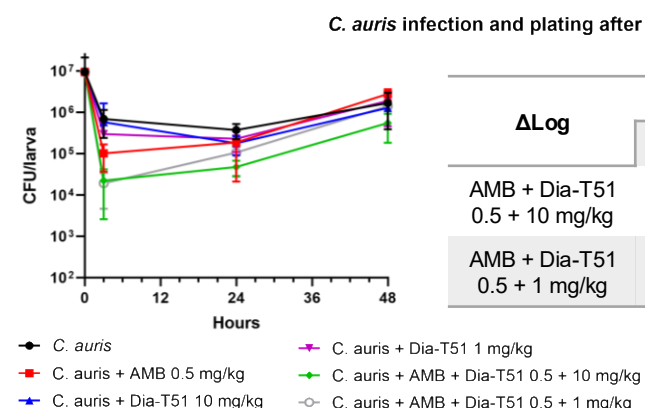
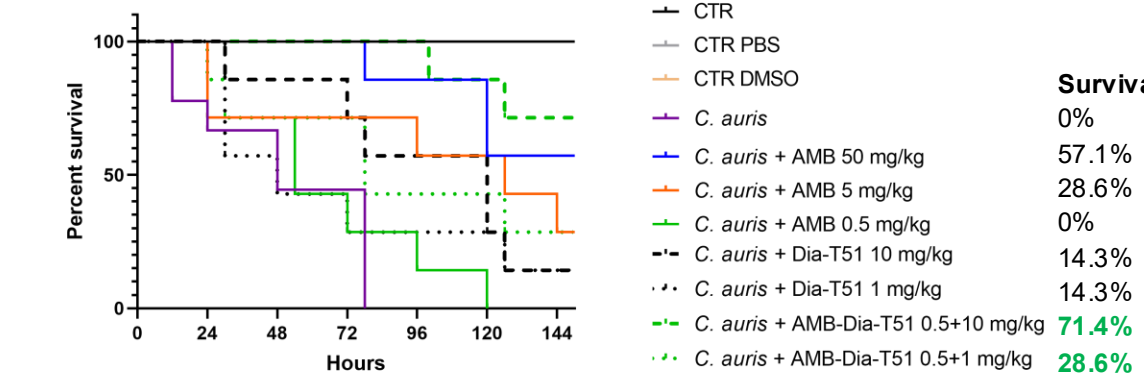
Ministero
dell'Università
e della Ricerca



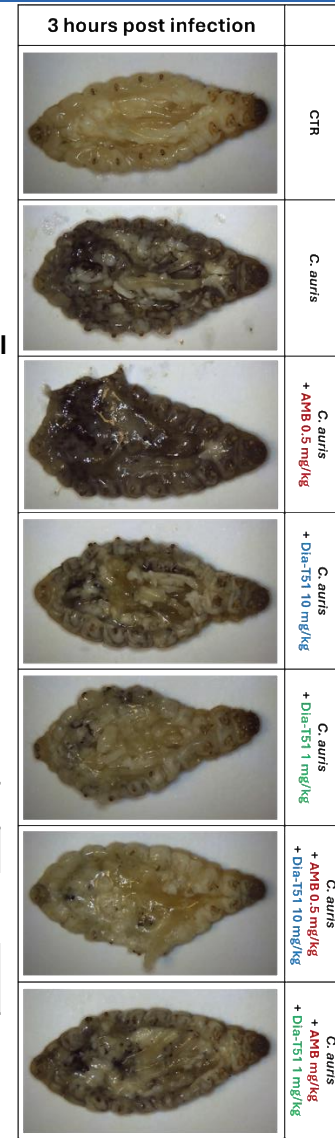
Italiadomani
PIANO NAZIONALE
DI RIPRESA E RESILIENZA



Galleria mellonella larvae infected with *C. auris* and treated with Amphotericin B, Dia-T51 and their combinations



ΔLog	No treatment			AMB		
	3h	24h	48h	3h	24h	48h
AMB + Dia-T51 0.5 + 10 mg/kg	1.54	0.88	0.67	0.77	0.33	0.96
AMB + Dia-T51 0.5 + 1 mg/kg	1.8	0.76	0.35	1.03	0.21	0.64



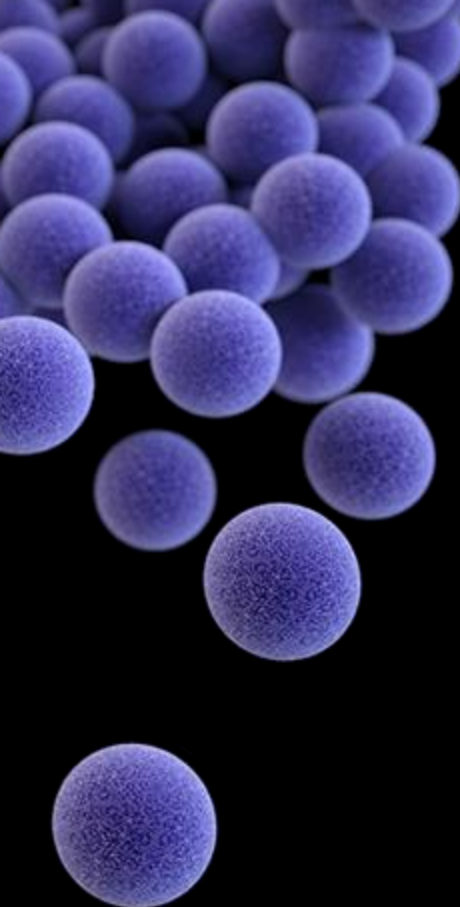
CONCLUSIONS

Dia-T51 is a humanized monoclonal antibody structurally similar and functionally even better compared to the murine parental.

Dia-T51 has a direct effect against fungal cells and an indirect and protective effect in the presence of immune effectors both *in vitro* and *in vivo*.

The synergy with amphotericin B was proved both *in vitro* and *in vivo* thus limiting the drug's side effects.





1506
UNIVERSITÀ
DEGLI STUDI
DI URBINO
CARLO BO

DISB
DIPARTIMENTO DI
SCIENZE BIOMOLECOLARI



**Professor Mauro Magnani
Tomas di Mambro Ph.D.**

Professor Marzia Bianchi

Professor Giorgio Brandi

Professor Barbara Canonico

Professor Rita Crinelli

Alessandra Fraternale Ph.D.

Professor Michele Menotta

Professor Giuditta Fiorella Schivano

Federica Biancucci Ph.D.

Caterina Ciacci Ph.D.

Filippo Tasini Ph.D.

Carolina Zara Ph.D.



DIATHEVA



Emanuele Marra
Giuseppe Roscilli Ph.D.



Universidad Zaragoza

Professor Pierpaolo Bruscolini



**Professor Francesco Barchiesi
Gianluca Morroni Ph.D.
Simona Fioriti Ph.D.**

**BIO-D – Sviluppo di biomarcatori diagnostici per la medicina di precisione e la terapia personalizzata
(CODICE: ARS01_00876 CUP: B32F20000270005)**

ACKNOWLEDGMENTS



European Union – NextGenerationEU under the Italian Ministry of University and Research (MUR) National Innovation Ecosystem (grant ECS0000041 - VITALITY - CUP H33C22000430006)



Finanziato
dall'Unione europea
NextGenerationEU



Ministero
dell'Università
e della Ricerca



Italiadomani
PIANO NAZIONALE
DI RIPRESA E RESILIENZA



Grazie per l'attenzione

tania.vazolini@uniurb.it



Finanziato
dall'Unione europea
NextGenerationEU



Ministero
dell'Università
e della Ricerca



Italiadomani
PIANO NAZIONALE
DI RIPRESA E RESILIENZA



Finanziato
dall'Unione europea
NextGenerationEU



Ministero
dell'Università
e della Ricerca



Italiadomani
PIANO NAZIONALE
DI RIPRESA E RESILIENZA

VH Domain

Chain	Position	AA	Liability
H	38	W	
	109*	W	Trp oxidation
	118	W	
L	4	M	Met oxidation
	41	W	Trp oxidation
	34*	N	
	35*	G	
	36*	N	Asn deamidation
	37*	T	
	68	D	
	69	S	Asp isomerisation

1 - QVQLQSGAELKKPGASVKISCKASGYTLSSYWLEVRQRPGQGLEWIGEILPGSGSTNY - 60

61 - NEFKGRATFTADTSTNTAYMELSSLTSEDSAVYYCAREGWYFDWGQGTTVTVSS - 116
*

VL Domain

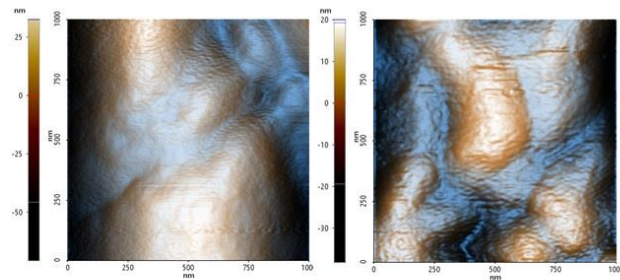
1 - DVVMTQSPLSLPVTLGQPASICRSSQSILLYSNGNTHLNWFQQRPGOSPRRLIYLVSNRD - 60

61 - SGVPDRFSGSGSGTDFTLKISRVEAEDGVYYCVQGTHFPYTFGGGTKLEIK - 112

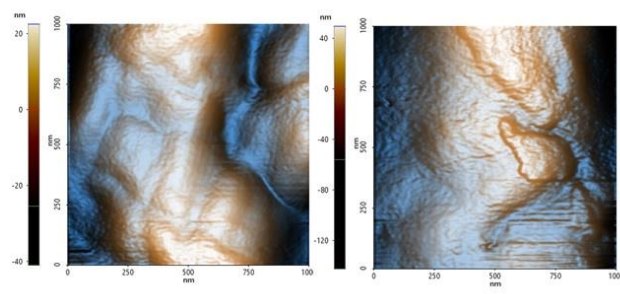
Atomic force microscopy

PBS

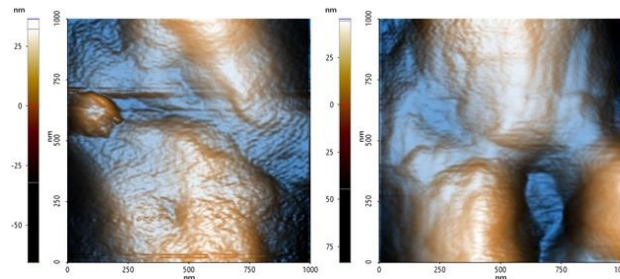
PBS



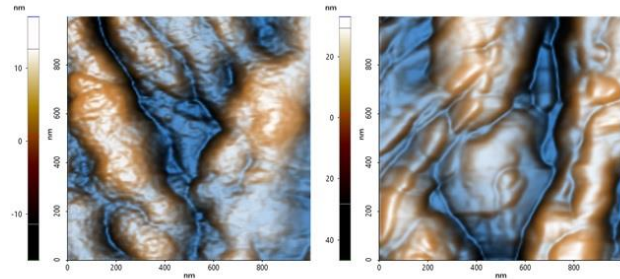
Fluconazole



Amphotericin B

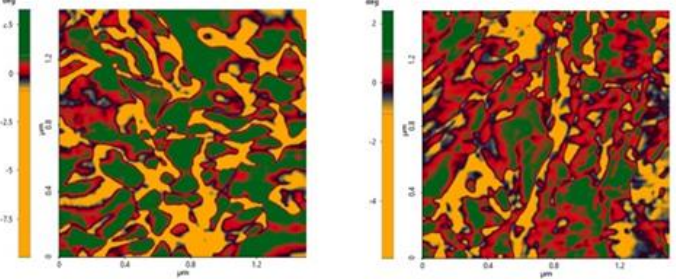
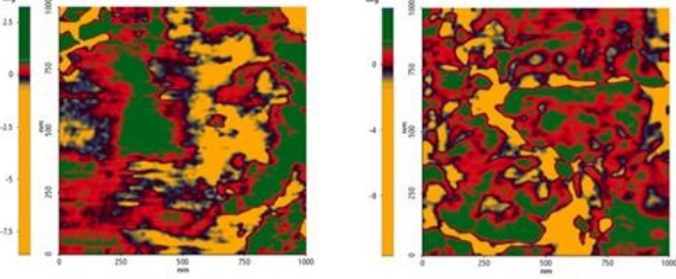
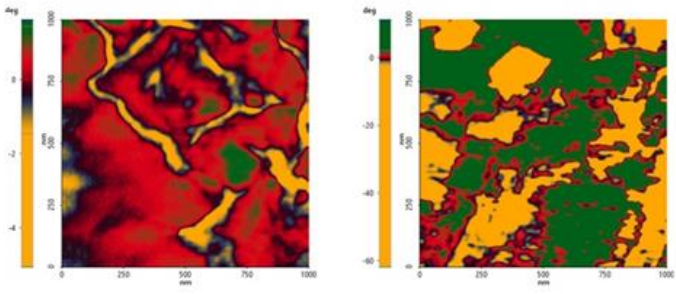
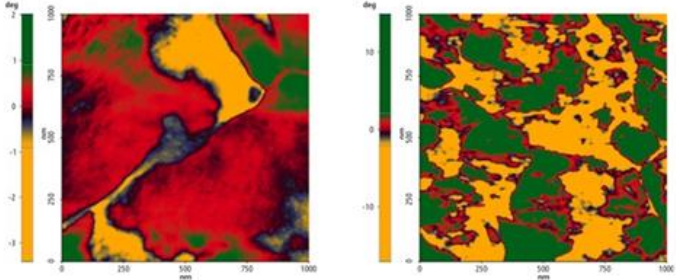


Caspofungin



PBS

hmAb H5K1



- Perturbation in the topographic and sub-topographic domains
- Higher frequency of vertical alterations
- Substantial difference in the chemical distribution
- Softening and weakening of the whole cell